

高等学校教学用书

机車內燃机

上 册

(原理部分)

上海交通大学热力机車教研組

唐山鐵道学院热力机車教研組 合編

北京鐵道学院热力机車教研組

人民鐵道出版社

高等学校教学用书

机 車 內 燃 机

上 册

(原理部分)

上海交通大学热力机車教研組

唐山鐵道学院热力机車教研組 合編

北京鐵道学院热力机車教研組

人 民 鐵 道 出 版 社

一九六二年·北京

本书系根据铁道部文教局审订的“机车内燃机教学大纲”编写的。经铁道部教材编写组推荐为内燃机车专业教材，也可供内燃机设计技术人员参考之用。

本书分上、下两册。上册（原理部分）主要阐述内燃机的工作原理，内容包括工作循环、混合剂形成和二冲程内燃机的换气等。同时，阐述了内燃机的增压特性和调节等问题。

主编单位：上海交通大学热力机车教研组

协编单位：唐山铁道学院热力机车教研组

北京铁道学院热力机车教研组

主编人：陆修涵

高等学校教学用书

机 车 内 燃 机

上 册

（原理部分）

上海交通大学热力机车教研组

唐山铁道学院热力机车教研组 合编

北京铁道学院热力机车教研组

人民铁道出版社出版

（北京市霞公府17号）

北京市书刊出版业营业许可证字第010号

新华书店北京发行所发行

人民铁道出版社印刷厂印

书号 1849 开本 787×1092₁₆ 印张 8₁/₂ 字数 243千

1962年2月第1版

1962年2月第1版第1次印刷

印数 0,001—1,000 册 定价 (10) 1.20元

目 录

第一編 緒論	1
第二編 机車內燃机原理	9
第一章 内燃机的理想循环	9
§1. 内燃机的理想循环概况	9
§2. 内燃机的热力循环	9
§3. 内燃机理想循环的分析	10
第二章 机車內燃机的燃料与热化学	11
§1. 机車內燃机的燃料	13
§2. 燃燒過程的热化学反应	13
§3. 燃料与可燃混合剂的热值	19
§4. 可燃混合剂与燃燒产物的比热	26
第三章 内燃机的实际工作循环	27
§1. 实际工作循环的概况	28
§2. 进气过程与排气过程	28
§3. 壓縮过程	29
§4. 燃燒过程	36
§5. 膨脹过程	37
§6. 工作循环的参数	43
§7. 内燃机工作的参数	44
§8. 内燃机的热平衡	48
§9. 内燃机的热計算	51
第四章 二冲程内燃机	52
§1. 二冲程内燃机的換氣方案	58
§2. 二冲程内燃机換氣過程的計算	58
§3. 对动活塞式内燃机功率計算的特点	61
§4. 二冲程内燃机的特点	69
第五章 燃料的噴射及工作混合剂的形成	72
§1. 燃料的噴射 (压燃式发动机)	74
§2. 压燃式发动机的燃料系統	74
§3. 外部混合发动机的燃料系統	76
§4. 压燃式发动机的燃燒室	86
第六章 内燃机的增压	94
§1. 提高内燃机功率的方法	100
§2. 内燃机增压概况	100
§3. 增压器型式和主要尺寸的决定	101
§4. 废气渦輪增压	105
第七章 内燃机的特性与調節	109
§1. 内燃机的工作条件	117
§2. 内燃机的特性曲綫	117
§3. 发动机工作的适应性	118
§4. 内燃机的調節	123
	124

第一編 緒論

現在世界上的动力机械，百分之九十左右是热机，即利用燃料燃燒时所发出的热量作为能源的动力机械。利用热能的机械还可包括那些直接利用太阳的热能，和近年来才被应用的原子反应堆中得到的热能。但到目前为止，絕大多数还是以燃料为能源的。

热机可分外燃机及內燃机两类。

所謂外燃机是燃料放出热能的装置放在热机的外部，工質接受热能后进入热机内部作功。属于这类热机的有蒸汽机、蒸汽輪机等，有时还包括燃气輪机。

所謂內燃机是燃料放出热能的装置放在热机的内部。是直接利用放出热能的燃燒产物作功的。

I. 內燃机的工作原理

內燃机的示意图如图 1。活塞 1 在气缸 8 内滑动，活塞通过連杆 2 与曲軸 3 联接，气缸上有气缸盖 4，盖上有进气閥 5、排气閥 6 及噴油器 7。

当曲軸 3 由 0° 向 180° 方向轉動时，活塞 1 由上而下移动；这时进气閥 5 在特殊机构（配气机构）作用下开启，空气被活塞吸入气缸。

曲軸由 180° 向 360° 繼續轉動，使活塞运动方向改变成由下向上移动；这时进气閥 5 和排气閥 6 都已关闭。进入气缸內的空气便被压缩到高温高压。当活塞快到最上部时，噴油器 7 将燃料噴入气缸。

燃料与高温气体接触便开始燃燒，放出热能，使气缸內空气的压力和温度再提高。这样，高温高压气体（燃燒产物）的膨胀便将活塞由上向下推动，使曲軸由 360° 向 540° 方向轉動时作功。

当曲軸由 540° 向 720° 方向繼續轉動，再使活塞由下向上移动时；排气閥在配气机构的作用下打开，在气缸内膨胀过的燃燒产物便被推出气缸外。

这样曲軸不断地轉動，上述过程就重复进行。

如上所述，活塞在汽缸內的往复运动，出現了两个特殊的位置。当曲軸在 0° 或 180° 时，活塞分別在距离曲軸最远和最近的位置，这时的运动速度为零。一般就称这两个特殊的位置为活塞的上死点和下死点。曲軸每旋轉半轉，活塞由上死点移动到下死点或由下死点移动到上死点的距离，称为內燃机的一个冲程。

內燃机的工作循环可以由活塞的四个冲程組成，也可以由活塞的二个冲程組成，前者称为四冲程內燃机，后者称为二冲程內燃机。

1) 四冲程內燃机的工作原理

图 2 表示了四冲程內燃机的工作簡图。图的上部分表示四个冲程中活塞、連杆、曲軸及气閥的相对位置。图的下部分表示气缸中气体压力和容积的变化情况。

如前所述，在活塞的第一个冲程内，曲軸由 1 轉到 2，活塞由上向下移动，空气由进气管經进气閥 6 进入气缸。所以，也称此冲程为进气冲程。但严格地說，这不是进气冲程而是进气过程。因为进气閥实际上是在曲軸位于 1 时打开、2 时关闭，而不是在 0° 打开、 180° 关闭（詳細情况見第三章）。由于进气管及进气閥存在着阻力損失，所以气缸內气体的压力比大气压低。

在活塞的第二个冲程内，曲軸由 2 轉到 3，活塞由下向上移动；这时进气閥和排气閥都已关闭。进入气缸的空气被压缩，压力升高，压力和容积变化如 P—V 图所表达。在这一时

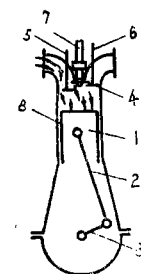


图 1 內燃机示意图

期內，氣缸中進行着空氣壓縮，故稱這沖程為壓縮沖程（過程）。在這階段的後期，燃料已開始由噴油器^e填入氣缸。

在活塞的第三個沖程內，曲軸由³轉到⁵，活塞由上往下移動。在此沖程初期，因噴入氣缸的燃料燃燒而放出熱能，使氣體的溫度和壓力升高。至燃料噴射終了（點⁴），燃燒逐漸停止。但氣體繼續膨脹，活塞由上向下移動，氣缸內氣體容積和壓力的變化如P—V

圖所示，這沖程稱為燃燒及膨脹沖程（過程），也因為是作功的過程，因之亦稱工作沖程（過程）。

在活塞的第四个沖程中，曲軸由⁵轉到⁶，活塞由下向上移動，這時排氣閥²打開。已經作過功的燃燒產物（廢氣）便由氣缸中排出。這沖程稱為排氣沖程（過程）。

此後，內燃機又重新回復到第一個沖程——進氣過程，並按上述順序循環不斷地工作。由此可以看出，四沖程內燃機是由活塞的四個沖程，即曲軸的兩轉（ 720° ）完成一個循環的。

2) 二沖程內燃機的工作原理

圖3表示二沖程內燃機的構造示意圖及工作過程中氣缸內氣體壓力和容積的變化情況。

曲軸通過齒輪系³帶動換氣泵^δ。空氣經換氣泵以後，壓力升高到 $1.2\sim1.5$ 大氣壓。在氣缸上開有換氣孔^u，氣缸蓋上有排氣閥⁶和噴油器^e。

當曲軸由¹轉向²時（曲軸在¹的位置時，活塞剛好關閉換氣孔^u），由換氣泵供給、並經換氣孔^u進入氣缸的空氣便被壓縮，壓力和容積的變化如P—V圖上所示。噴油器^e在曲軸位于²時開始噴射燃料。

噴入氣缸的燃料燃燒，使氣體溫度和壓力都升高。曲軸轉到位置

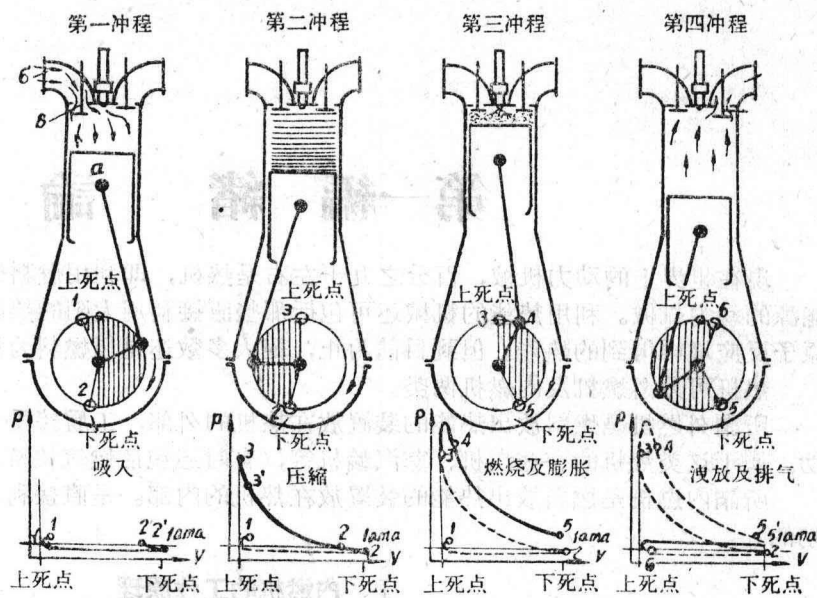


图2 四冲程内燃机的工作简图

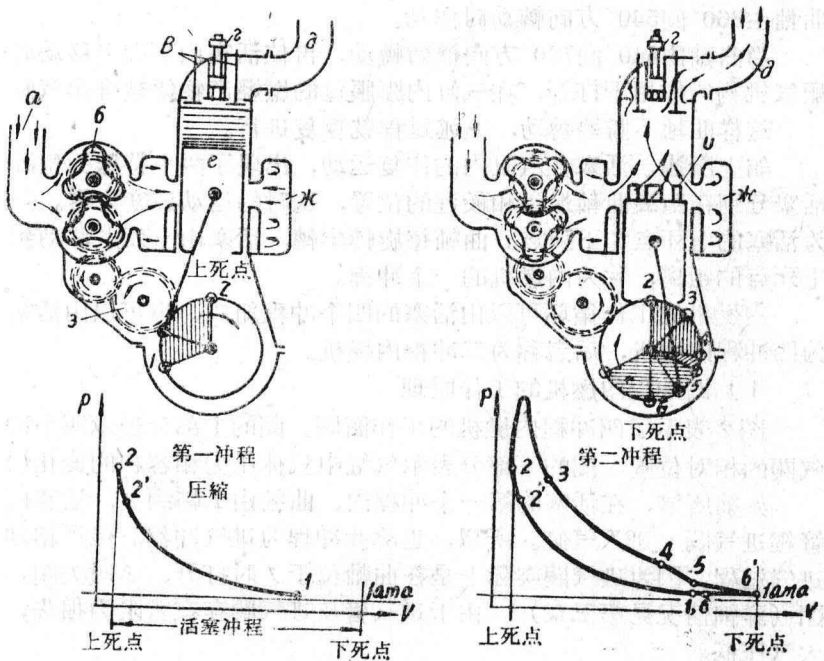


图3 二冲程内燃机的工作简图

3时，噴油和燃燒先后停止。气体的膨脹，使活塞繼續往下移。曲軸轉到位置4时，排气閥2在配氣机构的控制下打开。这时，气缸內气体因具有一定的压力和温度，便經排气閥冲出，气缸中压力急速下降。但气体繼續膨脹，活塞繼續下移。当曲軸轉到位置5时，活塞註开換气孔u，換气空气便經換气孔进入气缸，直到曲軸轉至位置1活塞关闭了換气孔时止（此时曲軸經下死点6完成一个冲程，并由下死点向上死点运动，进行下一个冲程）。在曲軸由位置5轉到位置1的整个时期内，新鲜空气廢气不断充入气缸，并将工作过的燃燒产物清除缸外。故有时称这一时期为换气过程。上述过程周而复始地重复进行。

因此，二冲程内燃机的特征是：在活塞由下死点移向上死点的冲程中，初期进行換气过程，后期进行压缩过程（压缩过程占此冲程的大部分）。当活塞由上死点移向下死点进行第二个冲程时，初期是燃料的燃燒和气体的膨脹，后期是排气和換气，即曲軸旋轉一轉的两个冲程内完成一个工作循环。与四冲程内燃机的区别，是空气的进入气缸和燃燒产物的排出气缸沒有占据专门的冲程，而只在下死点附近的一段时期内进行。

II、内燃机的优缺点

1) 将内燃机和外燃机相比，内燃机有如下的一些优点：

(1) 内燃机工作的各个阶段（高温阶段和低温阶段）是周期性地交替的，它燃燒时期的最高温度一般可以高达 $1800\sim2300^{\circ}$ 絕對，而排气温度則为 $800\sim1000^{\circ}$ 絕對。工作中最高温度和最低温度的差数这样大，根据卡諾定理，它就能成为高效率的热机。另外，由于它是直接利用燃燒产物工作，沒有中間介质的存在（如蒸汽），这就避免了一些損失。因此，内燃机在热机中效率最高。外燃机中蒸汽机和蒸汽輪机的效率大致分别为 $0.09\sim0.16$ 和 $0.15\sim0.25$ 而内燃机是 $0.22\sim0.45$ 。

(2) 内燃机直接利用燃燒产物工作，这就省去了象外燃机中制造中間产物（蒸汽）的那些设备（鍋炉、汽凝器、过热器等），因而重量可以很輕。机車内燃机的重量指标，可以低达 $2.15\sim2.45$ 公斤/馬力。在机車上如仅就动力装置而言，蒸汽机（包括鍋炉在内）的重量約为同样功率内燃机的四倍。

(3) 内燃机起动方便，一般只要几秒到几十秒鐘，大功率的内燃机的起动也不超过 $30\sim40$ 秒鐘，而外燃机所需起动的时间长。

(4) 内燃机不象外燃机那样需要消耗大量水，它仅需用少量水进行冷却，这就特別适用于一些无水或缺水地区。

(5) 内燃机在运用时維护简单。

2) 内燃机的缺点：

(1) 内燃机的燃料在气缸内燃燒，为了防止燃燒后所发生的固体颗粒或腐蚀性物质加大气缸等的磨損，因此，对燃料的要求較高，固体燃料不能直接应用，就是重油在机車内燃机上应用，还有一定的困难。

(2) 内燃机的工作特性不符合牵引运输工具所需要的扭矩特性，因而不适宜于直接驅动，而需要用傳动装置（如电傳动、液力傳动和机械傳动等）。

效率和重量經常是我们选择动力机械的主要因素。内燃机具有这个优点，所以，各个部門中得到了广泛的应用。例如，在汽車和拖拉机中成为最主要的动力装置；小、中型功率的船舶上，以及移动式的动力装置上应用很广，固定发电动力装置中也有应用。

III、内燃机的分类

内燃机得到如此广泛的应用，便形成了它在工作方式上和結構型式上的多样性。为了便于对内燃机作进一步的了解和分析，我們先根据它不同的特征进行分类。

1) 根据内燃机完成工作循环的冲程数来分类：

(1) 四冲程内燃机：如图2所示。

(2) 二冲程内燃机：如图3所示。

2) 根据工质进入气缸的压力分类:

(1) 不增压内燃机:

空气或可燃混合剂，在大气压下经进气管直接进入气缸。

(2) 增压内燃机:

进入气缸的工质预先经过压缩，或是采用其他方法，使压缩过程开始时的空气压力大于一个大气压。

3) 根据所用燃料分类:

(1) 液体燃料内燃机:

用天然的或人造的液体燃料（如汽油、柴油、煤油、酒精等）工作的内燃机。如汽化器式发动机（如汽油机）、压燃式发动机（如柴油机）等。

(2) 气体燃料内燃机:

用天然煤气、工业副产品煤气或发生炉煤气工作的内燃机。通常统称之为煤气机。

(3) 混合燃料内燃机:

同时使用液体和气体燃料工作的内燃机。例如柴油——煤气机。

压燃式发动机可以按四冲程或二冲程工作，而汽化器式发动机和煤气机，则大多只制成四冲程。

4) 根据可燃工作混合剂形成的方法分类:

(1) 外部混合式内燃机:

燃料和空气的混合是在气缸外进行的。混合好的工作混合剂（空气和燃料）一同由进气管、进气阀进入气缸。汽化器式内燃机（汽油机）及气体燃料内燃机（煤气机）都属这一类。

(2) 内部混合式内燃机:

燃料在压缩过程终了时喷入气缸，在气缸内和空气混合成可燃工作混合剂。一般柴油机都属于这一类。根据燃料喷入气缸方法的不同，它又可以分成：

A、空气喷射内燃机:

靠压缩到60大气压以上的空气将燃料喷入气缸。

B、机械（马力）喷射内燃机:

用机械方法将燃料压缩到很高的压力，然后靠燃料本身的压力喷入气缸。这一类发动机中，根据燃烧室形状不同，又可分为：

a. 统一式燃烧室式发动机:

燃烧室为一个整体，由气缸盖、活塞和气缸套组成。燃料喷入气缸中，靠燃料炬与燃烧室形状很好的配合来保证燃料与气缸内空气的混合。

b. 分隔式燃烧室，一般用的分隔式燃烧室又可分二类：

(i) 涡流室发动机（图4）。在这种发动机中，燃烧室由两部份组成：气缸盖中燃烧室1称为涡流室，气缸盖下燃烧室2称为主燃烧室。利用气缸内空气在活塞压缩时期内在涡流室中所造成的涡流运动来形成混合剂。

(ii) 预燃室发动机（图5）。在这种发动机中燃烧室分成两部份：气缸盖下大的为主燃烧室2，气缸盖内小的称为预燃室1。燃料经喷油器喷入预燃室。先燃烧了一小部分后，依靠燃烧后升高的压力，将未燃烧的燃料喷到主燃烧室继续燃烧。

5) 根据燃料点火方式分类:

(1) 压燃式内燃机:

工作混合剂靠压缩终了时气缸内气体的高温来点燃。柴油机和柴油煤气机等就是按这种方式点火。

(2) 外源点火式内燃机:

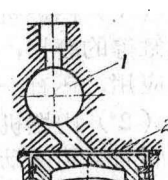


图4 涡流室发动机简图

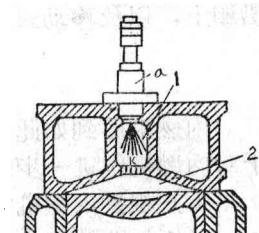


图5 预燃室发动机的简图

工作混合剂的燃燒，是靠外界形成的电火花或灼热的表面来点燃的。有时称为强制点火式内燃机。绝大部分汽油机和一些煤气机就是按这种方式点火。

6) 根据燃烧过程分类：

(1) 等容燃焼内燃机：

燃料在活塞位于上死点附近时迅速燃焼完毕，由于活塞在这短時間內作极少的移动，因而燃料基本上是在近乎等容情况下燃焼的。这种内燃机可以认为按等容加热循环工作。一般强制点火内燃机接近这一类。

(2) 等压燃焼内燃机：

燃料的燃焼在一段時間內持续进行。由于活塞的移动，气体的容积增大，致使气缸內压力大体上保持一定。因此，燃料是在等压的情况下燃焼（等压加热循环）。低速的压燃式内燃机接近这一类。

(3) 混合燃焼内燃机：

一部份燃料在接近等容情况下燃焼；另一部份燃料的燃焼，则在接近等压条件下进行。一般机械喷射的压燃式内燃机都属这一类。其实严格地说，所有内燃机都是按此方式进行燃焼的，只是或多或少地接近等容或等压加热。

7) 根据活塞的平均速度分类：

若内燃机曲轴的轉速为 n 轉/分，而活塞由上死点到下死点的行程（冲程）为 S 米，则活塞的平均速度为

$$C_m = \frac{2S \cdot n}{60} = \frac{S \cdot n}{30} [\text{米}/\text{秒}]$$

(1) 低速内燃机： $3.5 < C_m < 6$

(2) 中速内燃机： $6 < C_m < 8$

(3) 高速内燃机： $C_m > 8$

也有只分为低速和高速两类的。苏联GOST4398—48对固定和船用内燃机規定当 $C_m < 6.5$ [米/秒]时为低速，

$C_m > 6.5$ [米/秒]为高速。

对于机車内燃机则沒有特殊規定。

8) 根据气缸排列 (气缸中心綫的位置) 分类：

(1) 立式内燃机：

气缸中心綫垂直布置。现代内燃机大多数是这种型式。如图6中的1所示。

(2) 臥式内燃机：

气缸中心綫水平布置，如图6中的2所示。

(3) V型内燃机：

气缸中心綫排列式为“V”型，如图6中的3所示。

(4) H型内燃机：

气缸排列成“H”型，如图6中4所示。

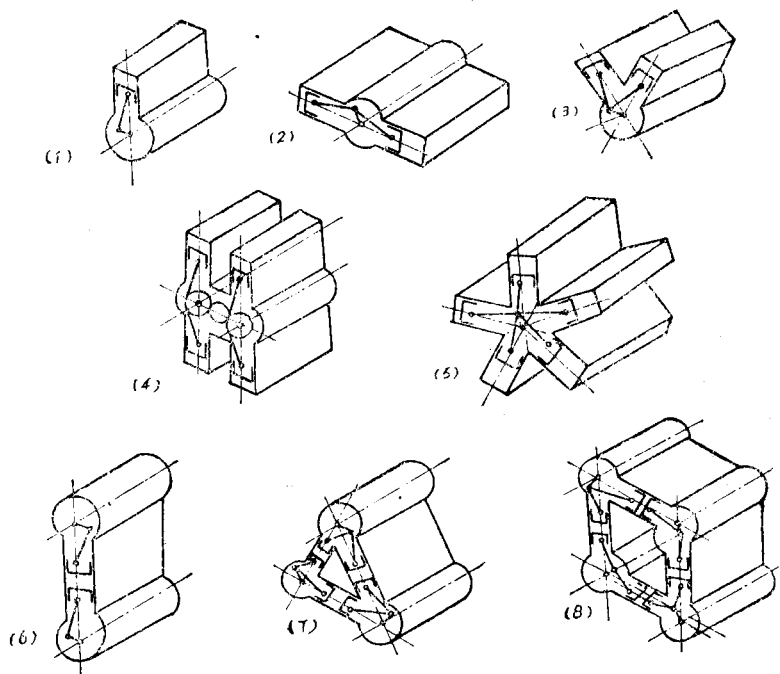


图 6 内燃机的气缸排列型式

(5) 星型內燃机：

气缸中心綫排列成星形，如图 6 中的 5 所示。

(6) 对动活塞內燃机：

一个气缸内安放着两个活塞，作相对运动。如图 6 中的 6 所示。

(7) △型內燃机：

三組对动活塞內燃机排列成“△”型。如图 6 中的 7 所示。

(8) 正方形內燃机：

四組对动活塞內燃机，排列成平行四边形。如图 6 中的 8 所示。

內燃机采用各种不同气缸排列形式的主要原因，是希望减少內燃机的外形尺寸（长度、高度、或宽度）和減輕內燃机的重量。

9) 根据內燃机的用途分类：

(1) 固定式內燃机：

在发电站或其他企业中用来带动发电机、空气压缩机、水泵等。

(2) 船用內燃机：

在船上用来驱动螺旋桨（主机）、水泵、绞车、压气机、发电机（后四种称为輔机）等。

(3) 机車用內燃机：

作为干线机車、调车机車，摩托机車等轨道运输机械动力的內燃机。

(4) 汽車拖拉机用內燃机：

作为汽車、摩托車、拖拉机、坦克等陆上运输机械的动力。

(5) 航空用內燃机：用作航空动力。

不同的用途对內燃机提出不同的要求，因而也就形成內燃机不同的构造特征。从今后的学习中我們将会知道：用途是选择內燃机构造型式的决定性因素。例如，航空，特別是軍用內燃机，主要是要求尺寸小、重量輕、工作可靠。因此虽然会导致內燃机經濟性和工作寿命的降低，但仍采用高轉速，使用高級燃料和貴重金属，实行严格的技术条件和复杂的工艺过程等。而固定式內燃机則与之相反，其重量和外形尺寸除了考虑节约金属材料等問題外限制是不严格的。这是內燃机的两种极端的情况，一般应用的介乎二者之間，由于要求的不同，有的接近前者，有的接近后者。

IV、內燃机的发震史和今后的展望

1) 内燃机的发展简史：

内燃机从问世到现在仅八十多年的历史，但已发展成为现代被采用最普遍的原动机，这是因为它符合着社会生产发展的需要。

蒸汽机的发展和应用，对于工业发展起着一定促进作用，但随着工业进一步的发展，蒸汽机由于本身的笨重、效率低等等缺点，必須有更先进、更新型的原动机来代替它。因此，使大家对于采用内燃式的原动机感到了兴趣。

在十八世紀末到十九世紀中，很多人从事研究企图創造內燃机。但沒有成效，虽然这样，但在理論上和个别具体問題上为以后内燃机的问世打好了基础。例如在1791年拟定了气体燃料在气缸内点火的原理，在1801年有了电火花点火的建議，在1815年提出了气缸用水冷却的方法，以及在1860年制成了第一台沒有压缩过程的燃用城市煤气的内燃机，但因效率太低为0.042，而沒有能实际应用。

到1878年才制成具有完整的四个工作过程的煤气机，因而被认为是内燃机诞生的里程碑，同时也把内燃机的发明和这台发动机的制造者奥图(OTTO)分不开了。其实他只是在总结归纳前人的劳动成果中作了一定的贡献罢了。

当时的煤气机功率小、重量大，应用上有一定的局限性。为了扩大它的使用范围，很多工程师学者們，为使用液体燃料做了很多工作，终于創造了燃用輕質燃料的外部混合电火花

点火的内燃机。此后，更进一步为减轻发动机重量等方面作了很多努力，也成功地制成了二冲程的及高转速的内燃机，尤其是后者给陆上运输及航空制造工业奠定了基础。

气体燃料及昂贵的轻质燃料都不能保证内燃机和蒸汽机竞争的能力，因此在上世紀末就开始进行创造应用廉价燃料发动机的广泛工作。德国工程师鲁道夫狄塞尔（Рудольф дизель）就是其中的一个，他在1893～1894年制出一种发动机，是采用煤粉作燃料。它的燃烧过程按等温进行。

狄塞尔继续对发动机进行研究，燃料改用火油，等温过程改为等压过程，这就使温度在燃烧过程中显著地增加，因而必须冷却。

在1897年新的用空气喷射燃料、靠压缩点燃的压燃式发动机制造成功了，它显示那时空前未有的效率为30%，但这台发动机运转得很坏，因它的供油设备不能令人满意。

在1899年俄国彼得堡“诺贝尔”工厂制成了一种新的压燃式发动机，它不仅可用火油工作，而且可用原油和重油。因有了新颖可靠的机械喷射的供油设备，才保证了发动机高的经济性和工作可靠性，替压燃式发动机奠定了基础。

到1907年为止，发动机已在很多国家制造了，但对其热力过程的计算方法和工作过程的原理还没有建立起来。直到1907年，莫斯科高等工业学校教授格兰涅维茨基（В. М. Гриневецкий）第一个发表了完整的工作过程的原理和计算方法。这对发动机制造业的发展起了不小的作用。

2) 内燃机的可能发展趋向：

内燃机推动工业生产有着重要的作用。

从内燃机过去的发展来看，主要是在提高它的经济性和可靠性，同时对重量、尺寸等方面，力求符合使用者的要求。今后内燃机仍将沿着这样的方向发展。

提高经济性的主要措施，是降低单位马力的燃料消耗率和采用廉价燃料，为了降低燃料消耗率，就需要提高燃料在每循环中所作的有效功。根据热力学原理，应提高气缸内工质的加热温度和降低排出发动机时的废气温度。因此近代发动机都采用增压，以提高加热温度。为了降低排气温度，而利用废气能量来推动涡轮机。现在这种涡轮机主要用于带动增压器，如将涡轮机多余的功率直接或传递给曲轴输出出去，就成为联合发动机，这样显然可提高经济性。甚至这种联合发动机中，涡轮机成为主要功率的输出者，这对改善发动机性能方面有一定意义。因此，提高增压和联合发动机将是内燃机的一个发展方向。

为了改善燃烧过程和能采用各种燃料燃烧，根据新的燃烧理论创造了高速压燃式发动机，应用所谓“M”型燃烧室。这对改善燃烧方面指出了一个新的方向。

此外，为了提高发动机功率，减小单位马力的重量，二冲程发动机结构上的改进正在作不断的努力，例如多轴式对动活塞发动机的应用和发展已显出它的前途。

内燃机的发展和冶金工业，制造工艺的发展有着紧密的关系，它和发动机重量的减轻，工作强度的提高，工作可靠性的保证等等是分不开的。象焊接结构的应用，轻金属材料与塑料的利用，以及多孔性镀铬渗氮等表面处理方法的进步和新的抗磨合金的发展等等，都给内燃机的发展带来了有利的因素。

随着内燃机结构的改善，新材料的采用，使内燃机的发展有了新的方向。例如采用直接空气冷却式发动机，它不但可以因去除了散热器等冷却水系统而可以节省大量有色金属，并且因它对外界温度的敏感性小，对气压的影响也比较小，因此在陆用运输发动机上有着发展前途。

对我国的具体情况来说，目前液体燃料的生产还跟不上工农业发展的需要，但可供内燃机用的固体燃料是到处都有的，因之采用发生炉煤气的内燃机，对我们有着特别重要的国民经济意义。

3) 内燃机在机车上的应用：

机车的运输经济效果，是选择机车动力的重要因素。在表1中列出了几种主要热机的效率和采用这些热机时的机车效率。

表 1

类 别	热 机 名 称	燃 料 种 类	热 机 效 率	机 车 效 率
外 燃 机	蒸 汽 机	煤	9—16%	6—8%
	蒸 汽 輸 机	煤	15—25%	11—4%
内 燃 机	压 燃 式 发 动 机	柴 油	36—42%	27—34%
	汽 化 器 式 发 动 机	汽 油	22—27%	18—22%
	煤 气 机	煤	23—29%	16—20%

内燃机用作机车动力时，需要传动装置。这就使得内燃机车的构造比较复杂，造价比较贵（为蒸汽机的2.5倍）。但是，内燃机车的牵引性能（包括牵引力的均匀性及加速性），效率的稳定性，机务费及铁道建筑费以及其他方面的指标都比蒸汽机车好得多。

所以，在机车的发展中，新型机车包括内燃机车及电力机车将是发展的方向。

由表1中还可看出，汽化器式发动机的热效率，虽比蒸汽机高些，但是它的燃料费用比压燃式发动机高，而它的效率比后者低。因此汽化器式发动机在机车动力中几乎没有采用。

煤气机，虽说它的效率比压燃式发动机低，但它可以用价格低廉的煤做燃料，所以，煤气机用作机车的动力是有它一定意义的。不过由于它需要一套煤气发生炉装置，增加了机车的重量；并且目前还有一些技术问题，如煤气发生炉的高气化强度、煤气的滤清和工作的稳定性等还没有很好解决。

由此可见，现阶段压燃式发动机成为内燃机车的主要动力。机车对发动机的要求是功率大、经济性高、重量轻、尺寸应受限界的控制，以及工作可靠、使用寿命长。这些要求，正是现代增压的高强度发动机的发展方向。

第二編 机車內燃机原理

第一章 內燃机的理想循环

§1. 內燃机的理想循环概況

內燃机的实际工作循环很是复杂，为了便于分析研究內燃机的热力过程，以便改善它的經濟性，首先就应研究理想循环，从而得到一个明确的概念。

用理想循环来代替实际循环是基于下列四个假定：

(1) 假定循环是由具有一定数量的、同一工質进行的，因此可以不考慮进排气的損失。

(2) 假定工質的化学成份在整个循环中不变，因此，从外部加热来代替燃燒过程，这样也可不必考慮燃燒过程所引起的热损失。

(3) 假定压缩与膨胀过程是絕热的，可以不与外界发生热交换。

(4) 假定工質的比热不随温度压力变化。

以上的假定使理想循环的研究簡化。因为比較簡單的理論关系，能明确地将各項因素的影响指出。这些因素經修正后，可以在实际循环中应用。因理想循环中不考慮各过程中的热损失，所以它的效率要比实际循环高。但它的基本原則仍不失为評定实际循环的基础，因此理想循环是內燃机实际工作过程的原始典范。

內燃机的热力循环可以从两个觀点來評定：

1) 热力循环的經濟性，即它的热效率。热效率等于循环有用功的热当量与每循环加給工質的热量的比例。

設 Q_1 (图1—1 中 $Q_1 = Q'_1 + Q''_1$) 为加給工質的热量， Q_2 (图1—1 中 $Q_2 = Q'_2 + Q''_2$) 为每循环放出的热量，

则 $Q_1 - Q_2$ 为此循环的有用热量，因此它的效率为：

$$\eta_t = \frac{Q_1 - Q_2}{Q_1}$$

2) 热力循环的有效性，即气缸单位工件容积所作的功。設每循环所作的功为 L_t = 面积 $acz'zbfa$ ，气缸工作容积为 $V_h = V_{\max} - V_{\min}$ ，則

$$\frac{L_t}{V_h} \left(\frac{\text{公斤米}}{\text{米}^3} \right) = P_t \left(\frac{\text{公斤}}{\text{米}^2} \right)$$

这个具有单位压力因次的数值，称为循环的平均压力，以 P_t 表示。

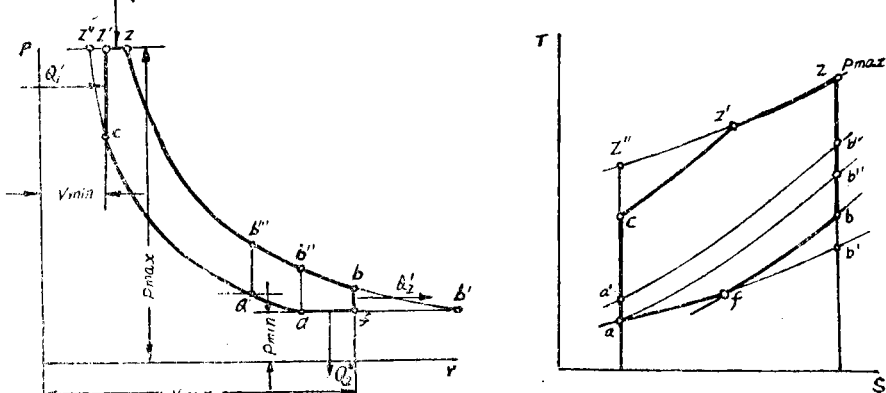


图 1—1 內燃机热力循环

但是，最大經濟性和最大有效性的条件往往并不能一致的，例如，在工程热力学中已經清楚知道，效率最高的循环是等温加热和等温放热，但这在发动机的实际工作过程中沒有实际意义，因为在具体条件下热能轉变为机械功的数量很少，即每一循环所作的功很少。所以在实际上选择循环时不仅要注意經濟性，而且要注意有效性；有时在某些条件下往往不采用最大經濟性，而是采用每循环能作最大功的循环。

图 1—1 为一般內燃机（包括个别联合发动机）的綜合循环。这里 Cz' 为等容加热， $z''z$ 为等压加热， $b'f$ 为等容放热， fa 为等压放热， ac 与 zb 分别为絕热压缩和絕热膨胀。

在热力学中已經知道，要提高循环的經濟性和有效性，可以扩大热能轉变为功的界限，但是在实际发动机中，压力、容积等的界限受到一定的限制。

压力的下限值 P_{\min} 即为外界大气压力，发动机排出的廢气只能排在大气中，而不能进行凝縮的。压力的上限值 P_{\max} 决定于材料与加工工艺，随着材料工艺等的进步， P_{\max} 的数值在不断扩大，第一部內燃机的 P_{\max} 在 20 公斤/厘米² 左右，而近代发动机可达 200 公斤/厘米²。

减少工質最小容积 V_{\min} 使压缩終点压力增大，但它受到最高压力 z' 的限制，且在实际发动机中，过高地增大压缩压力将增加损失。如在压缩过程中，工質为燃料与空气的混合剂时，将为防止混合剂由压缩时增高的温度所点燃，而不能采用高的压力。

如增大最大容积 V_{\max} ，使工質的膨胀达到最低压力 P_{\min} （即 b' 点），这样可增大循环的热效率，但增大 V_{\max} 会迅速地减少循环的平均压力。在活塞式发动机的实际可行的循环中，如增长膨胀过程（即 $V_{\max}-V_{\min}$ ）所引起的损失，往往会超过所增加的功。而且在这情况下必須加大氣缸的尺寸。因此，一般內燃机都是按照 $acz'zb''a$ 循环工作，膨胀的終点在 b'' 。假使为了增大循环的平均压力，而将膨胀終点移至 b''' 点，这样开始压缩点将自 a 移至 a'' ，它的压力高于大气压力。在实际发动机中可以用預先压缩（即增压发动机）来达到。

为了增大平均压力而减小 V_{\max} ，会引起循环热效率的下降，它是和 $ab''b'f$ 的面积成比例的，即加多了因不完全膨胀工質带走的热量。但过热量可以在别的设备中应用，如燃气輪机，鍋炉等，因此总效率通常是高于用大的膨胀过程的发动机。

§2. 内燃机的热力循环

在工程热力学中已将内燃机的热力循环作了討論，这里仅为便于探討理想循环的性质而作简单的重复。

I、各理想循环的热效率

混合循环（图 1—2）的热效率，如下式

$$\eta_t = 1 - \frac{1}{\varepsilon^{k-1}} \cdot \frac{\lambda \rho^k - 1}{\lambda - 1 + K \lambda (\rho - 1)} \quad (1-1)$$

式中： $\varepsilon = \frac{V_a}{V_c}$ —— 壓縮比；

$\lambda = \frac{P_z}{P_c}$ —— 壓力升高比；

$\rho = \frac{V_z}{V_c}$ —— 初期膨胀比；

$K = \frac{C_p}{C_r}$ —— 絶热过程指数。

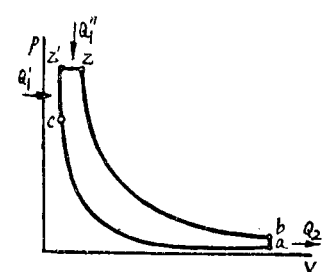


图 1—2 混合加热循环

此外，尚有不包括在 (1—1) 式中的 $\delta = V_b/V_z$ 为后期膨胀比。

这些参数中的 ρ 、 δ 与 ε 的关系为

$$\rho \cdot \delta = \frac{V_z}{V_c} \cdot \frac{V_b}{V_z} = \varepsilon \quad (1-2)$$

因 $V_b = V_a$ 。

λ 与这些参数无直接联系。

等压力加热循环的热效率（图 1—3）不同于混合循环的，仅是 Q_1 完全在等压的情况下加入，因此 $P_z = P_c$ 即 $\lambda = 1$ ，代入

(1—1) 公式得：

$$\eta_t = 1 - \frac{1}{\varepsilon^{k-1}} \cdot \frac{\varepsilon^k - 1}{K(\rho - 1)} \quad (1-3)$$

等容加热循环的热效率是在等容的情况下加入 Q_1 ，因此， $V_c = V_z$ 即 $F = 1$ ，将 F 值代入(1—1) 公式得：

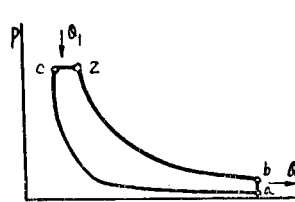


图 1—3 等压加热循环

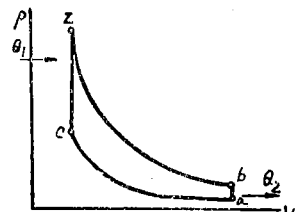


图 1—4 等容加热循环

$$\eta_t = 1 - \frac{1}{\varepsilon^{k-1}} \quad (1-4)$$

II、各理想循环的平均压力

循环所作的功为 $Q_1 \times \eta_t$ ，因此，平均压力可按下式计算：

$$P_t = \frac{Q_1 \eta_t}{AV_h} \quad [\text{公斤}/\text{米}^2]$$

或

$$p_t = P_t \times 10^{-4} \quad [\text{公斤}/\text{厘米}^2]$$

由于

$$V_h = V_a - V_c = V_a \frac{\varepsilon - 1}{\varepsilon}$$

混合循环的 Q_1 为：

$$\begin{aligned} Q_1 &= Q'_1 + Q''_1 = C_v(T_z - T_c) + C_p(T_z - T'_z) \\ &= C_v T_c [\lambda - 1 + K \lambda (\rho - 1)] \\ &= C_v T_a \varepsilon^{k-1} [\lambda - 1 + K \lambda (\rho - 1)] \end{aligned} \quad (1-5)$$

P_t 的公式为下列形式：

$$p_t = \frac{C_v \cdot T_a \cdot \varepsilon^{k-1} \cdot \eta_t}{A \cdot V_a (\varepsilon - 1)} [\lambda - 1 + K \lambda (\rho - 1)] \quad (1-6)$$

而

$$\frac{C_v}{A} = \frac{R}{K-1} \text{ 及 } \frac{R T_a}{V_a} = P_a$$

则混合循环的平均压力为：

$$p_t = \frac{Q_1 p_a}{A R T_a} \cdot \frac{\varepsilon}{\varepsilon - 1} \cdot \eta_t = \frac{p_a \varepsilon^{k \eta_t}}{(K-1)(\varepsilon-1)} [\lambda - 1 + K \lambda (\rho - 1)] \quad (1-7)$$

其中 R 为气体常数。

等压加热循环中因 $\lambda = 1$ ，得：

$$p_t = p_a \frac{\varepsilon^k \eta_t}{(\rho - 1)(\varepsilon - 1)} K (\rho - 1) \quad (1-8)$$

等容加热循环中 $\rho = 1$ ，则得：

$$p_t = p_a \frac{\varepsilon^k \eta_t}{(K-1)(\varepsilon-1)} (\lambda-1) \quad (1-9)$$

§3. 内燃机理想循环的分析

I、等容加热循环的分析

在上述的理想循环中，等容加热循环的热效率公式最为简单 (1—4)，因此我们先从

等容加热循环开始討論。

从公式(1—4)中可以看出, η_t 只跟压缩比 ϵ 及绝热过程指数 K 有关, 而且是随二者的增大而增加。 η_t 与 ϵ 、 K 的关系如图 1—5 所示。在一定 K 值下, ϵ 的加大促使 η_t 的增长, 但随着 ϵ 值的增大而 η_t 的增长速度逐渐减少。当 ϵ 在 10~12 以下时, 对促进 η_t 的增长效果很大。另一方面因 ϵ 增大而 p_z 增加得很快。从而 p_z 也增大了。这样将增加发动机零件的机械负荷和机械摩擦损失。实际上达到一定 ϵ 值后, 损失的增大可以比 η_t 的增加更快。所以设计发动机时, 对 ϵ 的选择必须注意。此外, ϵ 的数值有时也被燃料的物理及化学性能所限制。

绝热指数 K 视工质的性质而异。但一般差别不大, 事实上, 在内燃机中是不可能任意选择工质的。

公式(1—4)还指出了在等容加热循环中, 每循环加入的热量 Q_1 (这情况下 $Q_1=Q'_1$) 与 η_t 无关。这表明当膨胀比相同 (这情况下膨胀比与压缩比相等) 时, Q_1 的增加相应引起 Q_2 的增加, 即 Q_2/Q_1 的比例不变。

发动机载荷改变时就改变 Q_1 , 它虽不影响 η_t , 但也改变了 λ 和 p_z 。若将 $\rho=1$ 代入公式(1—5), 得

$$\lambda = \frac{Q_1}{C_v T_a \epsilon^{k-1}} + 1$$

因此, 可见 λ 随 ϵ 增大而下降; 随 Q_1 增大而增大。

最高压力 p_z 为:

$$p_z = \lambda p_a = p_a \left(\frac{Q_1}{T_a C_v} \epsilon^{-\lambda} + \epsilon^{\lambda} \right)$$

由此可见, p_z 是跟 ϵ 与 Q_1 一同增大的。

根据公式(1—9)看出, 等容加热循环有效性的平均压力 p_z , 随着 ϵ 、 λ 及 p_a 的增加而增加。 λ 是使 p_z 值在很大范围内改变的主要因素; λ 又与 Q_1 成比例。

在不改变 T_a , 而单纯增加 p_a , 则仅意味着进入气缸的工质(空气或混合剂)较多。初压力较大能促使 p_a 、 p_z 的增大。但在实际情况中, 在增加进入气缸的工质的同时, 加大了 Q_1 的数值, 从而使 λ 也增大, 因而使每一循环所作的功增大。这是现代发动机中广泛应用增压器来增大 p_a 值的原因。

II、等压加热循环的分析

等压加热循环的热效率公式(1—3)中可以看出, 它和等容加热循环、热效率公式的区别在于多了一个乘数, 即

$$\frac{\rho^k - 1}{K(\rho - 1)}$$

因为 $\rho > 1$ 和 $K > 1$, 因此这数值也大于 1。这样在相同的 Q_1 、 ϵ 、 K 时, 等压加热循环的 η_t , 小于等容加热循环的 η_t 。发动机载荷加大时, ρ 将增大。因此 η_t 将随载荷(即 ρ)的增大而减小, 它们之间的关系如图 1—6 所示。

等压加热循环的平均压力(公式 1—8)的情况与等容加热循环相似, 不过当 ρ 增大时 p_z 虽然下降, 但 P_z 仍是增大。例如, ρ 从 2 变为 3, 则 p_z 增加 84%。

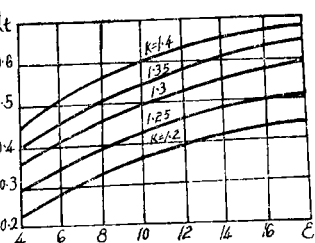


图 1—5 热效率与压缩比的关系 (等容加热)

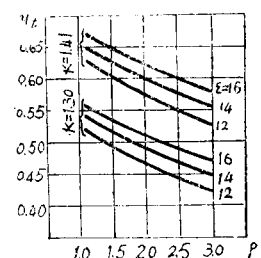


图 1—6 等压加热循环的热效率

III、混合加热循环的分析

混合加热循环中加入的热量 $Q_1=Q'_1+Q''_1$, 而 Q'_1 与 Q''_1 的比例的改变, 即等容加热比例的改变, 从而影响混合加热循环的 η_t 及 p_z 。假使 Q_1 是一常值, 根据公式(1—5)可以找出 η_t 与 ρ 之间的关系:

$$Q_1 = Q'_1 + Q''_1 = C_v T_c [\lambda - 1 + K \lambda (\rho - 1)]$$

因此

$$\frac{Q_1}{C_v T_c} = \lambda - 1 + K \lambda (\rho - 1) \quad (1-10)$$

假定 ϵ 、 K 及 T_c 均为常数，则：

$$\lambda - 1 + K \lambda (\rho - 1) = \frac{Q_1}{C_v T_c} = A \text{ (常数)}$$

由此可以用一定的 λ 值求相应的 ρ 值，或反之用一定的 ρ 值求相应的 λ 值，再代入公式 (1-1) 即可得 η_t 。图 1-7 为以 $\epsilon = 16$ 、 $K = 1.4$ 计算所得的曲线图。图 1-8 为 λ 与 ρ 对 p_z 的影响。

根据前面等容、等压循环的讨论，可以理解 λ 与 ρ 的变化对混合加热循环的影响。在 Q_1 为定值时， ρ 的减小、 λ 相应增大。 $\rho = 1$ 时即为等容加热而有最大 η_t ，反之， $\lambda = 1$ 时 ρ 越大， η_t 便愈小。

